

СКЕЙЛИНГ ДЛЯ ЭФФЕКТА ШТАРКА В РИДБЕРГОВСКИХ АТОМАХ

В.Д.Мур, В.С.Попов

Получены уравнения, определяющие сдвиги и ширины ридберговских состояний в сильном электрическом поле (для произвольного атома), и соотношения скейлинга для околороговых штарковских резонансов с $n_1 \sim n > 1$, n_2 и $m \sim 1$. Эти соотношения подтверждаются на эксперименте.

1. Исследование ридберговских состояний атомов и молекул вызывает в последние годы значительный интерес. Экспериментально обнаружены ¹⁻⁵ резонансы в сечениях фотоионизации атомов в постоянном электрическом поле \mathcal{E} при $n = 15 \div 40$ и $E \approx 0$. Численные расчеты для атома водорода ^{6, 7} показывают, что положения и ширины этих резонансов совпадают с комплексными энергиями $E^{(n_1, n_2, m)} = E_r - i\Gamma/2$ штарковских квазистационарных состояний. Это открывает возможность экспериментальной проверки теории эффекта Штарка в сильных полях.

Мы развили аналитическую теорию ридберговских состояний для произвольного атома, см. уравнения (2), (3). С помощью $1/n$ -разложения получены соотношения скейлинга для околороговых резонансов, которые хорошо согласуются с экспериментом и могут быть использованы для идентификации квантовых чисел резонансов.

Далее (если не оговорено особо) используются атомные единицы; $n = n_1 + n_2 + m + 1$ – главное квантовое число уровня, n_1, n_2 и m – параболические квантовые числа ($m \geq 0$).

2. При вычислении энергии состояний (n_1, n_2, m) с $n \gg 1$, $m \ll n$ используем квазиклассические условия квантования (с учетом поправок порядка \hbar^2 ⁸ приближенное разделение переменных в области $r > r_a$ ¹⁾) и "скрытую" симметрию кулоновского поля ⁹. Пусть $\beta_{1,2}$ – константы разделения, ϵ и F – приведенные энергия и внешнее поле:

$$\begin{aligned} \epsilon &= 2n^2 E^{(n_1, n_2, m)} = \epsilon' - i\epsilon'' , \\ \epsilon'' &= n^2 \Gamma^{(n_1, n_2, m)} , \quad F = n^4 \mathcal{E} , \end{aligned} \quad (1)$$

$\Gamma^{(n_1, n_2, m)}(\mathcal{E})$ – ширина уровня (n_1, n_2, m) , связанная с ионизацией атома полем \mathcal{E} . Тогда ϵ , β_1 и β_2 определяются из уравнений:

$$\begin{aligned} \beta_1 (-\epsilon)^{-1/2} f(z_1) - \frac{F}{8n^2} (-\epsilon)^{-3/2} g(z_1) &= \nu_1 , \\ \beta_2 (-\epsilon)^{1/2} \bar{f}(z_2) + \frac{F}{8n^2} (-\epsilon)^{-3/2} g(z_2) &= \nu_2 , \\ \beta_1 + \beta_2 &= 1 , \end{aligned} \quad (2)$$

вывод которых будет изложен в другом месте. Здесь $z_1 = -16\beta_1 F / \epsilon^2$, $z_2 = 16\beta_2 F / \epsilon^2$,

$$\nu_i = \left(1 - \frac{\delta}{n}\right) \left(n_i + \frac{m+1}{2}\right) / n, \quad i = 1 \text{ и } 2,$$

¹⁾ здесь r_a – радиус атомного ядра; предполагается малость его по сравнению со средним радиусом ридберговских состояний $r \propto n^2$.

$\delta = \delta(n_1 n_2 m)$ выражается через квантовые дефекты δ_l^{10} для свободного атома:

$$\delta(n_1 n_2 m) = \frac{1}{n} \sum_{l=m}^{n-1} (C_{J, M-m; lm}^{JM})^2 (2l+1) \delta_l, \quad (3)$$

$J = (n-1)/2$, $M = (n_1 - n_2 + m)/2$, а $f(z)$ и $g(z)$ выражаются через гипергеометрическую функцию: $f(z) = F(1/4, 3/4; 2; z)$, $g(z) = \frac{2}{3} F(3/4, 5/4; 1; z) + \frac{1}{3} F(3/4, 5/4; 2; z)$. Параметр δ учитывает отличие атомного поля от кулоновского (в области $r \lesssim r_a$). Появление в (3) коэффициентов Клебша – Гордана связано с группой "скрытой" симметрии атома водорода: $SO(4) = SO(3) \circ SO(3)$, причем $L = J_1 + J_2$ (L – орбитальный момент, J_i – генераторы одной из подгрупп $SO(3)$). Поскольку δ_l резко убывают с ростом l^{10} , то в сумме (3) фактически остается несколько первых членов. Асимптотически $\delta(n_1 n_2 m) \propto 1/n \rightarrow 0$ при $n \rightarrow \infty$, но при $n \sim 30$ они еще не малы²⁾.

Неучтенные в (2) поправки не превосходят n^{-4} (при $m=0$), поэтому точность системы (2) для ридберговских атомов достаточно высокая. При $\mathcal{E} \rightarrow 0$ решение (2) согласуется с рядом теории возмущений до членов порядка \mathcal{E}^3 включительно. Однако, с помощью (2) можно рассмотреть и случай сильного поля (вплоть до значений, сравнимых с полем на орбите электрона, $n^4 \mathcal{E} \sim 1$).

Хотя уравнение (2) можно решить численно, при $n \geq 1$ естественно использовать $1/n$ -разложение. Для состояний с $n_1 \sim n \geq 1$, n_2 и $m \sim 1$ получаем:

$$\epsilon_{n_1 n_2 m} = \epsilon_0 + \frac{p}{n} \epsilon_1 + \frac{1}{n^2} (p^2 \epsilon_2 + \xi_2 + m^2 \eta_2) + \dots, \quad (4)$$

$p = 2n_2 + m + 1$. В пределе $n \rightarrow \infty$ система (2) сводится к уравнению

$$(-\epsilon)^{1/2} = F(1/4, 3/4; 2; -16F/\epsilon^2), \quad (5)$$

решение которого обозначим через $\epsilon_{cl} \equiv \epsilon_0(F)$. Нетрудно показать, что ϵ_{cl} монотонно возрастает вместе с F , пересекает границу $\epsilon = 0$ при $F = F_* = 0,3834$ и остается вещественной при всех $0 < F < \infty$. У следующих членов $1/n$ -разложения при $F > F_*$ возникает мнимая часть; при этом члены порядка $1/n$ и $1/n^2$ в (4) выражаются через $\epsilon_{cl}(F)$ и ее производные. Используя это, приходим к соотношениям скейлинга:

$$E_r^{(n_1 n_2 m)} = \frac{1}{2\tilde{n}^2} \epsilon_{cl}(\tilde{n}^4 \mathcal{E}), \quad \Gamma^{(n_1 n_2 m)} = \frac{p}{\tilde{n}^3} \left(1 - \frac{\delta}{n}\right) \gamma_{cl}(\tilde{n}^4 \mathcal{E}), \quad (6)$$

где $\tilde{n} = n_1 + \frac{m+1}{2} - \delta$, $\gamma_{cl}(F) = \theta(F - F_*) \left(F \frac{d}{dF} - 1\right) \epsilon_{cl}^{3/2}$ и $E > 0$. В подпороговой области $E < 0$ имеем:

$$E_r^{(n_1 n_2 m)} = \frac{1}{2\tilde{n}^2} \{ \epsilon_{cl}(\tilde{n}^4 \mathcal{E}) + \eta((\tilde{n} n_*)^2 \mathcal{E}) - (\tilde{n}/n_*)^2 \eta(n_*^4 \mathcal{E}) \}, \quad (7)$$

$n_* = \tilde{n} + p/2 = n - \delta$, $\eta(F) = [-\epsilon_{cl}(F)]^{3/2}$. Отметим, что в (6) и (7) входит лишь одна универсальная функция $\epsilon_{cl}(F)$, которая определяется из (5).

3. Сравнение с экспериментом. На рис. 1 проверяется выполнение скейлинга (6) для $E_r^{(n_1 n_2 m)}$. Экспериментальные точки: \circ – состояния $(n_1, 0, 0)$ в атоме водорода⁴ при $\mathcal{E} = 6,5$ и $8,0$ кВ/см; \square – серии $(n_1, 0, 1)$ и $(n_1, 1, 0)$ в атоме водорода⁴; $+$ – данные

²⁾ Так, в атоме риббия $\delta(n-1, 0, 0) = 0,768, 0,538$ и $0,414$ при $n = 20, 30$ и 40 .

для рубидия ¹ при $\mathcal{E} = 2,189$ кВ/см (левые четыре точки), а также $\mathcal{E} = 4,335$ и $6,416$ кВ/см; * — состояния $(n_1, 0, 0)$ для натрия ^{2, 3}, $\mathcal{E} = 2,15$ и $4,46$ кВ/см.

Рис. 2 иллюстрирует выполнение (7) для подпороговых резонансов ^{1, 2, 4, 5}. Число экспериментальных точек на рис. 1 и рис. 2 нетрудно было бы увеличить. Во всех рассмотренных нами случаях соотношения скейлинга подтверждаются с хорошей точностью — как для водорода, так и для других атомов ³⁾.

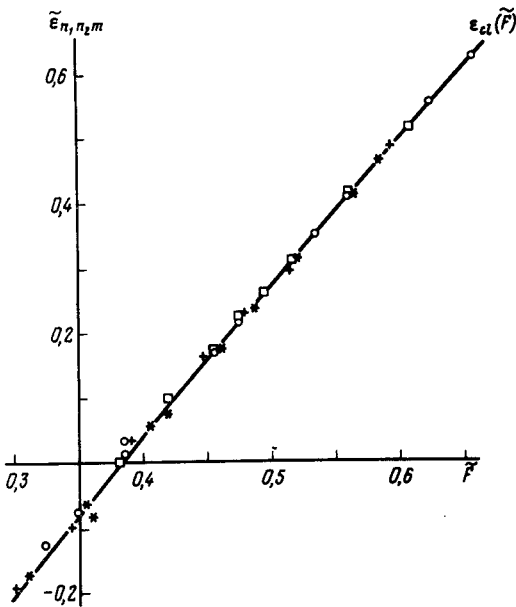


Рис. 1. Скейлинг для надпороговых резонансов.

Сплошная кривая — $\epsilon_{cl}(\tilde{F})$, $\tilde{\epsilon}_{n_1, n_2, m} = 2\tilde{n}^2 E_r(n_1, n_2, m)(\mathcal{E})$, $\tilde{F} = \tilde{n}^4 \mathcal{E}$. Обозначения экспериментальных точек даны в тексте

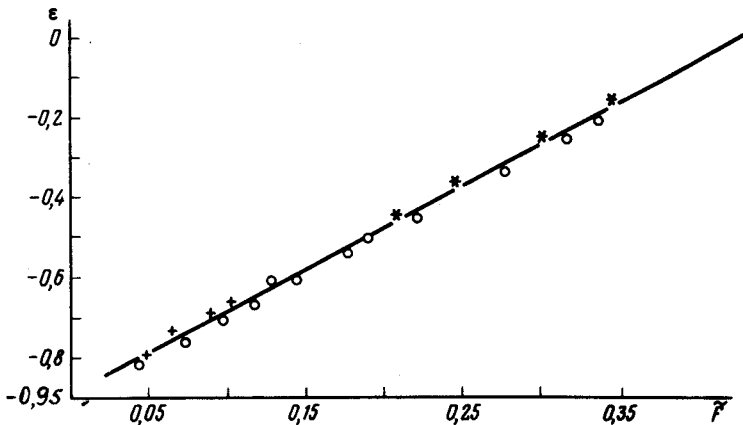


Рис. 2. Скейлинг (7) в подпороговой области. Данные для водорода взяты из ^{4, 5} и обозначены \circ ; остальные обозначения те же, что и на рис. 1.

³⁾ Для водорода квантовые дефекты равны нулю. В остальных случаях учет $\delta(n_1, n_2, m)$ в уравнениях (6) и (7) является существенным. За недостатком места, мы опускаем здесь некоторые детали, существенные для правильной интерпретации экспериментальных спектров в случае рубидия ¹.

Что касается ширины резонансов, то при $F > 0,4$ экспериментальные точки ⁴ хорошо ложатся на универсальную кривую согласно (6), однако при меньших F наблюдаются отклонения от скейлинга. Здесь нужно учесть поправку к правилам квантования за счет конечной проницаемости барьера, что сводится к замене

$$\nu_2 \rightarrow \nu_2 - \frac{1}{2\pi n} \left\{ \frac{1}{2i} \ln \left[\frac{\Gamma(\frac{1}{2} + ia)}{\Gamma(\frac{1}{2} - ia)} (1 + e^{-2\pi a}) \right] - a \ln a + a \right\}, \quad (8)$$

$a = \frac{1}{\pi} \int_{\eta_1}^{\eta_2} |p_\eta| d\eta$ ($\eta_1 < \eta < \eta_2$ — подбарьерная область). При $\epsilon \rightarrow 0$ отсюда следует

известное ⁹ пороговое поведение ширины $\Gamma(n_1, n_2, m)$ (ϵ). Численное решение системы (2) с учетом (8) дает правильную интерполяцию между областью слабого поля и скейлинговой областью $F \gtrsim F_*$, см. рис. 3. Сравнение расчетов с экспериментальными данными по ширинам штарковских резонансов мы отложим до более подробной публикации.

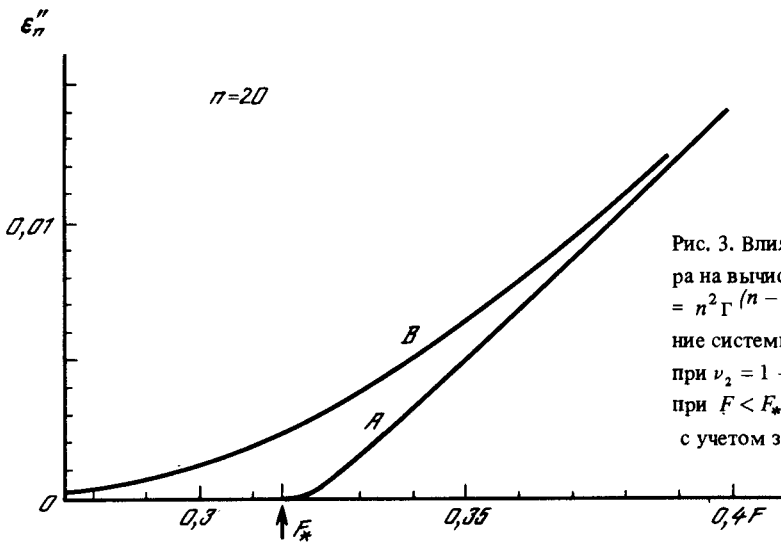


Рис. 3. Влияние проницаемости барьера на вычисление ширины уровня, $\epsilon''_n = n^2 \Gamma(n-1, 0, 0)$. Кривая A — решение системы (2) в $1/n$ -приближении при $\nu_2 = 1 - \nu_1 = 1/2n$ (здесь $\epsilon''_n = 0$ при $F < F_*$); кривая B — решение с учетом замены (8)

Авторы благодарны А.В.Сергееву и А.В.Щеблыкину за обсуждения в ходе работы и помощь в проведении численных расчетов.

Литература

1. Freeman R.R., Economou N.P. Phys. Rev., A, 1979, 20, 2356.
2. Luk T.S., Di Mauro L., Bergeman T., Metcalf H. Phys. Rev. Lett., 1981, 47, 83.
3. Sandner W., Safinya K.A., Gallagher T.F. Phys. Rev., A, 1981, 23, 2448.
4. Glab W.L., Ng K., Yao D., Nayfeh M.N. Phys. Rev., A, 1985, 31, 3677.
5. Ng K., Yao D., Nayfeh M.N. Phys. Rev., A, 1987, 35, 2508.
6. Колосов В.В. Письма в ЖЭТФ, 1986, 44, 457.
7. Вайнберг В.М., Мур В.Д., Попов В.С., Сергеев А.В. Письма в ЖЭТФ, 1987, 46, 178.
8. Bekenstein J.D., Krieger J.B. Phys. Rev., 1969, 188, 130.
9. Ландау Л.Д., Лифшиц Е.М. Квантовая механика. М.: Наука, 1974.
10. Радциг А.А., Смирнов Б.М. Параметры атомов и атомных ионов. М.: Энергоатомиздат, 1986.

Поступила в редакцию

25 мая 1988 г.